

Нижне-Волжский НИИ геологии и геофизики  
Саратовский государственный университет им. Н. Г. Чернышевского  
НИИ геологии Саратовского университета

## ВОПРОСЫ СТРАТИГРАФИИ ФАНЕРОЗОЯ ПОВОЛЖЬЯ И ПРИКАСПИЯ

Сборник научных трудов

Под редакцией А. В. Иванова, В. А. Мусатова

ИЗДАТЕЛЬСТВО САРАТОВСКОГО УНИВЕРСИТЕТА  
2004

### НОВЫЕ ДАННЫЕ ПО СТРАТИГРАФИИ ЮРСКИХ ОТЛОЖЕНИЙ СРЕДНЕГО ЗАВОЛЖЬЯ ПО РЕЗУЛЬТАТАМ КОМПЛЕКСНОГО ИЗУЧЕНИЯ РАЗРЕЗА ОПОРНОЙ СКВАЖИНЫ № 120

\*Э. А. Молостовский, \*А. Б. Богачкин, \*Л. В. Гребенюк, \*В. А. Фомин  
\*И. Ю. Фролов, \*\*Т. Б. Орлова, \*\*\*Е. Ю. Барабошкин,  
\*\*\*\*К. И. Кузнецова

\* НИИ геологии СГУ, Россия, 410026, Саратов, Большая Казачья, 120  
E-mail: nigg@sgu.ssu.ru

\*\* Саратовская гидрогеологическая экспедиция, Россия, 413102, Энгельс, Енисейская, 4.

\*\*\* Московский государственный университет, Россия, 119899, Москва  
Воробьевы горы, геологический ф-т, E-mail: naidin@geol.msu.ru

\*\*\*\* Геологический институт РАН  
Россия, 109017, Москва, Пыжевский пер., 7  
E-mail: radionova@geo.tv-sing.ru

В статье приведены результаты комплексного исследования  
ориентированного керна опорной скважины № 120, пробуренной  
Саратовской гидрогеологической экспедицией на севере Саратовско-  
Заволжья, близ с. Орловское Пугачевского р-на. Отбор ориентированно  
«верх-низ» керна выполнен в процессе бурения сотрудниками СГГ.  
Исследована коллекция из 140 образцов, проведено обобщение  
результатов палео- и петромагнитного, палеонтологического, микрофаун-  
стического и геохимического (спектрального) анализов. Отбор ориентиро-  
ванных образцов и макрофауны выполнен Т. Б. Орловой, палеомаг-  
нитные определения и обобщение данных проведены Э. А. Молостовским  
А. Б. Богачкиным, В. А. Фоминым, Л. В. Гребенюком. Обработка геохим-  
ических данных произведена И. Ю. Фроловым, палеонтологические опре-  
деляния выполнены Е. Ю. Барабошкиным и К. И. Кузнецовой.

#### МЕТОДИКА РАБОТ

##### Палео- и петромагнитный анализ

Каждый штук распиливался на 4 кубика-дубля с ребром 20 м. Лабораторные исследования велись по стандартной методике (Палеомагнитология, 1982; Молостовский, Храмов, 1997).

Измерения магнитной восприимчивости ( $k$ ) проводились на приборе ИМВ-2, естественной остаточной намагниченности ( $Jn$ ) – на спиннер-магнитометре JR-4. Для более детального расчленения разреза использованы особенности распределения комплекса скалярных магнитных ха-  
рактеристик по разрезу скважин.

Для диагностики магнитных фаз снимались кривые нормально-  
намагничивания ( $Jr$ ), определялись поля насыщения ( $Hs$ ) и разрушающ-

поля насыщения ( $H'_{cs}$ ). На установке конструкции Б. В. Бурова и П. Г. Ясонова проводился дифференциальный термомагнитный анализ (ДТМА).

Для подбора оптимального температурного режима чисток лидирующая коллекция из разных литологических групп подвергалась серии поэтапных нагревов от 100 до 600°C (через 50°C с выдержкой 1 час) в экранированной пермалслой немагнитной печи.

По результатам проведенных термомагнитных чисток построены диаграммы Зийдервельда. (рис. 1, В), характер которых выявляет в большинстве образцов двухкомпонентный состав Jn. Низкотемпературная, видимо вторичная, составляющая разрушалась при нагревах 100–250°C. В ряде образцов, где направление вторичной компоненты не соосно с направлением характеристической (первичной) компоненты, на диаграммах Зийдервельда документируется резкий излом и спад намагниченности на графиках Jn/T. Дальнейший интервал температур до 500°C представлен в целом в виде сходящихся отрезков прямых, что позволяет предполагать наличие компоненты Jn, принимаемой за характеристическую. На ее основе производилась стратиграфическая интерпретация результатов.

Опыты по нормальному намагничиванию свидетельствуют о преобладании в породе магнитомягких фаз, которые могут быть представлены магнетитом и сульфидами пирротин – грейгитового ряда. Отсутствие полного насыщения в полях 4700 Э указывает на наличие в единичных образцах магнитожестких оксидов и гидроксидов железа (рис. 1, А).

Установлено повсеместное присутствие магнетита, который диагностируется на кривых ДТМА по отрицательным пикам в области температур 580°C. В ряде образцов тонкодисперсные разности магнетита фиксируются по растянутым вогнутым кривым, отвечающим спектру блокирующих температур в интервале 400–600°C. Помимо магнетита в некоторых образцах документируется пирротин по резким отрицательным пикам при температурах близких 320–350°C (рис.1, Б).

Оптико-минералогические исследования ряда образцов из-за малых размеров (0,7–0,1 мм) железосодержащих зерен позволили лишь качественно судить о содержании в породах сульфидов и магнетита.

Основным носителем намагниченности является аллотигенный магнетит, а в сильномагнитных породах – аутигенные магнитные сульфиды железа.

Для доказательства первичности выявленных магнитозон использовались два теста.

1. Проводилась проверка взаимосвязи полярности Jn с химизмом магнитных фаз. Сопоставление образцов, где основными магнитными минералами выступают  $Fe_3O_4$  и  $Fe_{1-x}S$ , показало независимость знака намагниченности пород от состава и генезиса ферромагнетиков.

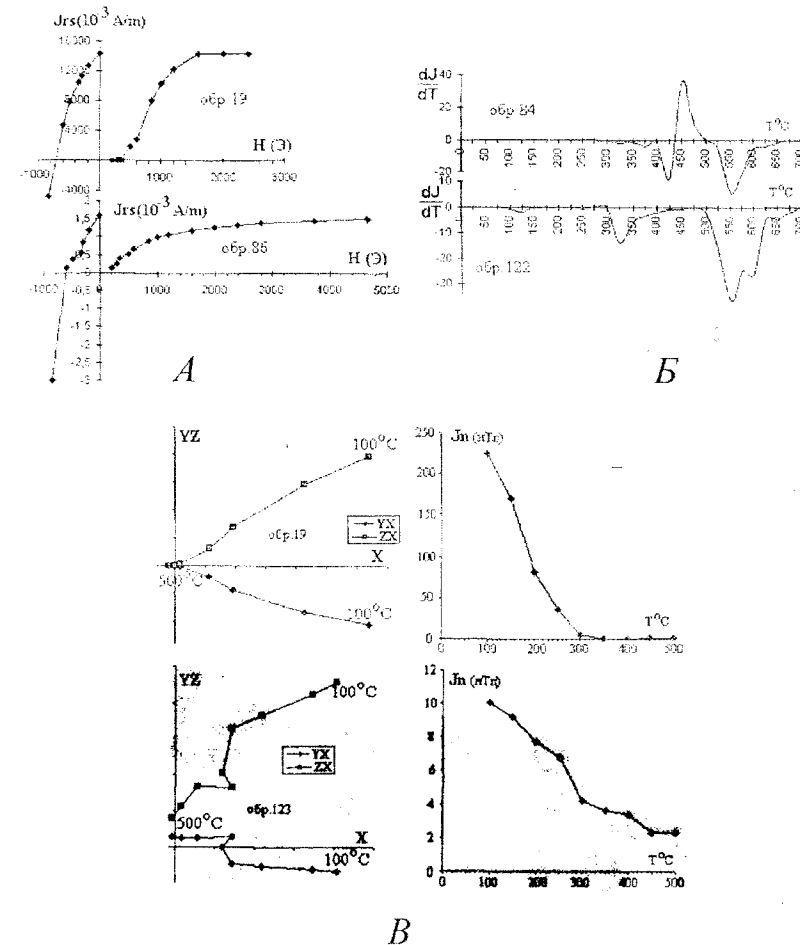


Рис. 1. Данные лабораторных исследований: А – типичные графики насыщения и размагничивания; Б – графики ДТМА; В – диаграммы Зийдервельда

2. Сходство палеомагнитного разреза скважины № 120 с колонками аналогичных возрастных интервалов других регионов, где обнаруживается сходный порядок чередования интервалов прямой и обратной намагниченности по стратиграфической шкале.

### Статистическая обработка геохимических данных

Проанализированы результаты спектрального анализа по 23 элементам (76 образцов). По ассоциациям элементов, выделенных на основе анализа корреляционных матриц, построены аддитивные графики. Полученная корреляционная матрица анализировалась с помощью теории графов (Каждан, Гуськов, 1990).

В результате статистической обработки геохимических данных обозначились две группы элементов: 1) Cr, V, Ti, Be, Y, Ba, Zr, Se, Li, Ni, P, Y и 2) Pb, Sn, Ga. Графики выделяемых групп индивидуальны, более того, в некоторых интервалах шкалы даже антиподальны. Однако в целом они создают принципиально сходную картину геохимической дифференциации разреза, по-разному реагируя на смену условий седиментации отложений.

У ряда элементов (Zn, Cu, Me, Ag, Co, Ge, Mn, Nb) явная дифференциация вообще отсутствует.

### ОБСУЖДЕНИЕ РЕЗУЛЬТАТОВ

#### Стратиграфический разрез

На основании палеонтологических данных в разрезе установлены следующие стратиграфические подразделения (*сверху-вниз*, рис.2, см. вкл.).

**Нижний мел. Готеривский ярус, верхний подъярус.** Интервал разреза 6–38 м представлен глинами темно-серыми до черных, с редкими тонкими (до 0,15 м) прослойями серых известняков. В инт. 37–38 м залегают глинистые пески с фосфоритовым конгломератом в подошве, что характерно для всех разрезов Ульяновско-Саратовского Поволжья (Меловая система, 1986). В нем обнаружен комплекс переотложенных средневолжских фораминифер зоны *Virgatites virgatus*.

Находки единичных раковин *Glomospirella* sp. (обр. 7 гл. 19 м) и стратиграфическое положение этого интервала позволяют датировать его нижним мелом, а литологический состав указывает на принадлежность этих пород к готеривскому ярусу.

**Верхняя юра. Волжский ярус.** Берриас – валанжинские и верхневолжские отложения в скв.120 не установлены, и базальный

горизонт готерива перекрывает с размытом отложения средневолжского возраста.

**Средневолжский подъярус.** Интервал 38–58,5 м сложен чередованием глин темно-серых до черных (от 0,2 до 3 м) и сланцев желтовато-серых, плотных, известковых, тонкослоистых (до 1 м). У подошвы зафиксированы прослои (до 0,5 м) серых, плотных мергелей. По фауне аммонитов здесь выделены:

Зона Virgatites virgatus. В интервале 38–43 м определен широко распространенный *Laevidentalium* sp. (обр.22, гл.40 м) и фораминиферы *Kutsevella verus* (Dain), *K. haplophragmoides* (Furss. et Pol.), *Ammobaculites infravolgensis* Mjatl., *Haplophragmoides volgensis* Mjatl. Обнаруженный комплекс фауны средневолжского яруса. Зона Virgatites gerassimovi. В глинах (инт. 43–46 м), наряду с *Berlieria cf. maeotis* (Eichwald), *Mesomiltha fischeriana* (d' Orbigny), *Entolium erraticum* (Fiebelkorn), *Astarte cf. mnevnicensis* Gerasimov, *Proconulus cf. carinatus* Gerasimov определен зональный вид-индекс *Virgatites cf. gerassimovi* Mitta (обр. 27, гл.45 м). В местной стратиграфической схеме эта зона не обозначена.

Зона Dorsoplantes panderi установлена в интервале 46–58,5 м (чередование глин и горючих сланцев) на основании комплекса фауны. Здесь выделены подзоны: верхняя – *Zaraiskites scythicus* (инт.46–55,5 м) по характерному комплексу *Zaraiskites* sp., *Berlieria maeotis* (Eichwald), *Astarte cf. Mnevnicensis* Gerasimov, *A.sp.*, *Retroceramus pseudoretrosus* (Gerasimov), ?*Corbula* sp., *Mesomiltha fischeriana* (d'Orbigny), *Buchia* sp. Indet., *Lingula* sp. (Вишневская, Барабошкин, 2001), и нижняя (условно, по сопоставлению с разрезами Городище и Кашпир) – *Pavlovia pavlovi* (инт. 55,5 – 58,5 м).

#### Нижневолжский подъярус.

Зона Novaishya pseudoscithica. Документируется в интервале 58,5–61,5 м, где в глинах темно-серых, известковистых, алевритистых с тонкими сланцеподобными прослойками определен вид-индекс *Novaishya pseudoscithica* (Now. Et Flor.), (обр.42, гл. 61 м). Подошва зоны маркируется мергелем серым, плотным алевритистым мощностью 0,5 м.

#### Киммериджский ярус.

Зона Aulacostephanus (A.) eudoxus. Представлена в интервале 61,5–78 м глинами темно-серыми, плотными, известковистыми (на гл. 67 м зафиксирован горизонт фосфоритов), где установлено характерное сообщество фораминифер *Lenticulina russiensis* (Mjatl.), *L. tumida* Mjatl., *L. illustris* Grig. и др. (обр. 52, гл. 76 м) и двусторонок *Nucoloma calliope* (d'Orbigny), *Laevidentalium* sp. Indet., а также аммонитов *Aulacostephanus (A.) cf. pseudomitabilis* (Loriol) зоны *eudoxus* (обр. 44, 45, 48, 56). Эти отложения по составу макрофауны отнесены к верхнему киммериджу. Присутствие нижнего киммериджа не исключено, хотя фаунистически и не доказано. Следует отметить, что граница киммериджского и волжского

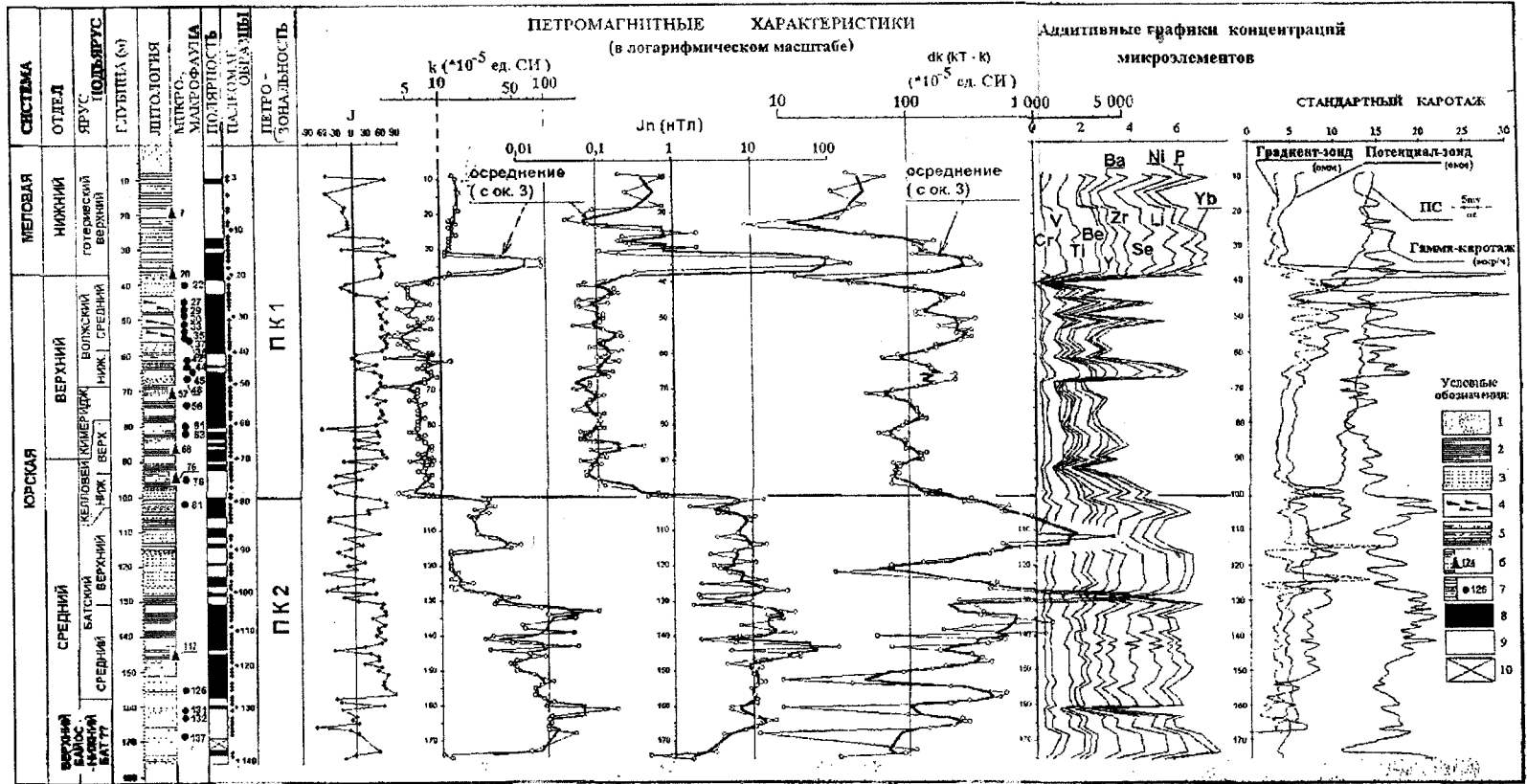


Рис. 2. Магнитостратиграфический разрез скважины № 120 (с. Орловское Пугачевского р-на Саратовской обл.): 1 – пески; 2 – глины; 3 – алевролиты; 4 – прослои мергелей; 5 – сланцы; места обнаружения: 6 – микрофауны, 7 – макрофауны; 8 – прямая полярность; 9 – обратная полярность; 10 – отсутствие п/м данных

ярусов по аммонитовой фауне устанавливается в 4 м выше фосфоритового горизонта, по которому ярусную границу проводят в Заволжье и Приуралье. При отсутствии аммонитов в конкретных разрезах фосфоритовый горизонт целесообразно использовать в качестве индикатора межярусной границы.

**Средняя юра. Келловейский ярус. Верхний подъярус.** В интервале 78–98 м вскрыты глины серые, плотные, с гнездами пирита и известковистыми конкрециями. Аммониты и двустворки плохой сохранности позволяют датировать вмещающие слои не точнее чем келловей – оксфорд. Комплекс фораминифер *Lenticulina polonica* (Wisn.), *L. tumida* Mjatl., *L. calva* (Wisn.), *Planularia deeckeii* (Wisn.), *Epistomina mosquensis* Uhlig, *E. elschankaensis* Mjatl., *E. planiconvexa* Biel. et Styk. и аммонитов *Quenstedtoceras* sp. (ex gr. Leachi? (J.Sowerby) плохой сохранности, свидетельствует о позднекелловейском возрасте вмещающих слоев (обр. 68 и 76, гл. 87 и 97 м). Присутствие оксфордских отложений в разрезе также нельзя исключить, тем более, что стратиграфическое несогласие здесь непосредственно не фиксируется.

#### Нижний подъярус.

**Зона *Cadoceras elatmae*.** Документируется в интервале 98–102,5 м, где в алевролитах серых плотных и глинах темно-серых до черных, плотных обнаружены остатки *Cadoceras (Paracadoceras) elatmae* (Nikitin) (обр. 81, гл. 102 м). По обломкам песчаников и алевролитов в основании интервала фиксируется размыв.

**Нерасчлененные бат – байосские отложения.** Представлены в разрезе скважины (инт. 102,5 – 176 м) терригенной толщей в составе трех пачек. Верхняя пачка (инт. 102,5 – 128 м) сложена чередующимися прослойями серых глин и алевритов. Средняя (инт. 128 – 151 м) – представлена серыми плотными глинами. В нижней (инт. 151 – 176 м) – преобладают серые алевриты с прослойями кварцевых песчаников.

В нижней части толщи (обр. 131, 132) определены двустворки *Meleagrinella doneziana* (Borisik), характерные для бат-байосских отложений Русской плиты. На отметке 155 м (обр. 122) найден аммонит *Parkinsonia* sp. Indet. плохой сохранности, распространенный как в батских, так и в верхнебайосских отложениях. Кроме этого, на гл. 145 м (обр. 115) обнаружены фораминиферы *Ammodiscus baticus* Dain., характерные для батских отложений Поволжья. Таким образом, по совокупности имеющихся палеонтологических данных две верхние пачки из инт. 102,5 – 151 м могут быть отнесены к батскому ярусу. Нижняя песчаная пачка, судя по занимаемому стратиграфическому положению, может отвечать как низам батского, так и верхам байосского ярусов.

#### Магнитостратиграфический разрез

Из-за многочисленных размывов и перерывов в осадконакоплении сводная палеомагнитная колонка не отражает, естественно, полной палеомагнитной последовательности и представляет собой сугубо местное сочетание разновозрастных магнитозон.

**Готеривский ярус, верхний подъярус.** Палеомагнитная колонка верхнеготеривского подъяруса имеет отчетливо выраженное биональное строение. Ее нижняя часть (инт. 26–38 м) сложена прямонамагниченными слоями, верхняя (инт. 7–26 м) – намагничена обратно.

В сводном магнитостратиграфическом разрезе Среднего Поволжья отложения готеривского яруса охарактеризованы переменной полярностью, в то время как барремский ярус представлен зоной прямой намагниченности (Гужиков и др., 2002). Таким образом, практически исключается принадлежность этой толщи к баррему, а ее переменная полярность в общем подтверждает известные представления о позднеготеривском возрасте этой части разреза.

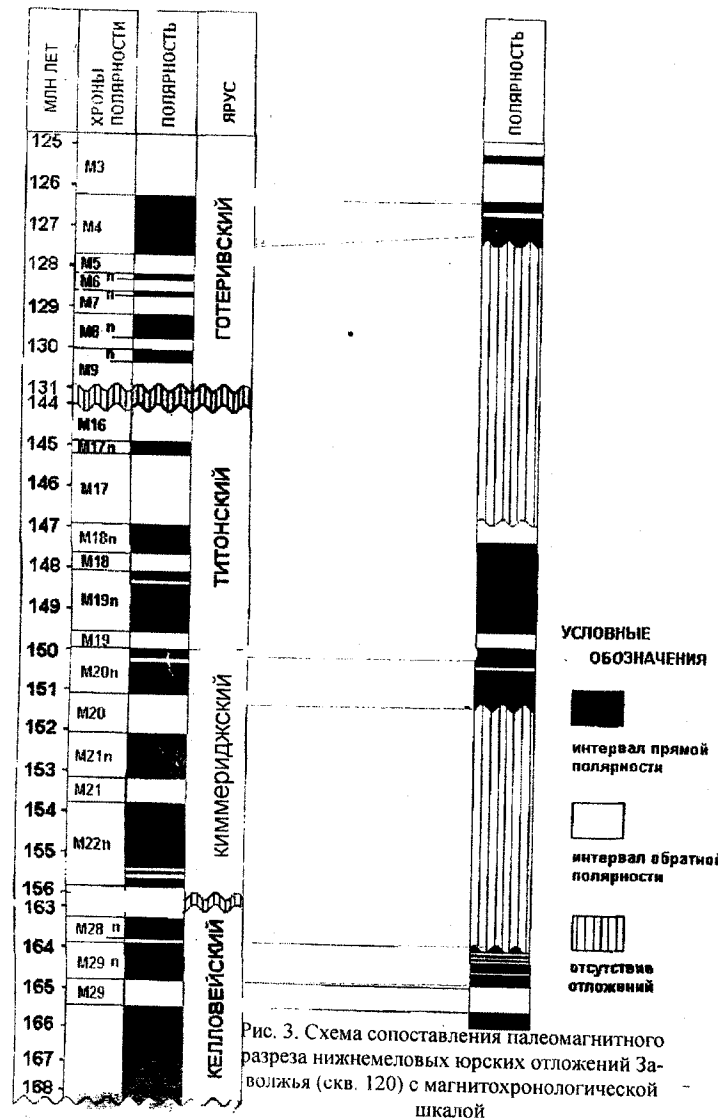
Прямая привязка выделенных магнитозон к зональной аммонитовой схеме невозможна из-за отсутствия органических остатков. Установлено однако, что в готеривских отложениях Среднего Поволжья на общем слабомагнитном фоне регистрируется "всплеск" магнитной восприимчивости, который имеет достаточно широкое латеральное распространение. Этот сильномагнитный горизонт приурочен к верхам верхнеготеривской зоны *Craspedodiscus discofalcatus* (Гужиков, 2000). Аналог этого реперного петромагнитного уровня зафиксирован и в описываемом разрезе, что позволяет датировать эти слои верхним готеривом (см. рис. 2).

В общей магнитохронологической шкале, в варианте У. Харлenda и А. Кокса (Харленд, Кокс, 1985), наиболее вероятным аналогом верхней зоны обратной полярности представляется хрон M3, а средней N зоны – хрон M4 (рис. 3).

**Волжский ярус.** В разрезе установлены три магнитозоны: две обратной и одна прямой полярности. Средняя N зона охватывает большую часть средневолжского подъяруса в объеме зоны *Dorsoplanites panderi*. Нижняя R-зона соответствует нижневолжской зоне *Illoaiskya pseudoscithica*, верхняя R зона эквивалентна, видимо, зоне *Virgatites virgatus*.

Неполнота разреза и недостаточная точность палеомагнитных данных по титонскому ярусу не позволяют провести однозначную идентификацию выявленных магнитных стратонов и определить их возможные аналоги в общей магнитохронологической шкале.

Магнитохронологическая  
шкала  
(Харленд, Кокс, 1985)



**Киммериджский ярус.** В палеомагнитной колонке верхний киммеридж в объеме зоны *Aulacostephanus (A.) eudoxus* охвачен зоной прямой намагниченности, осложненной в самых верхах микрозоной обратного знака. Сходную палеомагнитную характеристику верхнего киммериджа имеет шкала линейных магнитных аномалий. Вполне допустимой выглядит корреляция обнаруженной в разрезе зоны прямой полярности с хронами M20N или M21N шкалы У. Харленда и А. Кокса (1985).

**Келловейский ярус.** В келловейской части разреза задокументированы три магнитозоны – две прямых и одна обратная. Однако это сочетание явно неполное, так как средний подъярус здесь отсутствует. Можно полагать, что средняя R-зона является по существу сочетанием фрагментов однополярных разновозрастных магнитозон. Наиболее обоснованной представляется крупная верхняя зона прямой намагниченности, эквивалентная большей части верхнекелловейского подъяруса. Близкое сочетание палеомагнитных последовательностей фиксируется в шкале У. Харленда, А. Кокса в интервале хронов M 29 и M29N.

**Батский и байосский ярусы.** Палеомагнитное строение батбайосской толщи определяют три магнитозоны: нижняя – преимущественно обратная (Rn), средняя – прямая (N) и верхняя – знакопеременная (RN).

Верхняя Rn-зона в целом соотносится с верхней алеврито-глинистой пачкой, средней N-зоне соответствует пачка глин из средней части разреза, нижняя Rn-зона эквивалентна первой снизу алевро-пелитовой пачке. При общем соответствии литопачек и магнитозон их границы в разрезе сдвинуты не менее чем на 5–6 метров.

Наиболее полные мировые данные по среднеюрской части шкалы получены по разрезам Южной Испании (Steiner, 1987), где в батбайосе установлена сходная с Поволжьем последовательность чередования магнитозон. При этом нижняя зона – Rn в испанском разрезе охватывает верхи байоса и нижний бат, средняя N-зона является палеомагнитным аналогом среднего и верхнего бата. Выявленная в скв. 120 верхняя знакопеременная зона в испанском разрезе не обнаружена (рис. 4).

В описываемом разрезе верхняя RN-зона палеонтологически не охарактеризована, но по петромагнитным, геохимическим и геофизическим (каротажным) характеристикам она идентична нижележащим палеомагнитным зонам батского яруса. В совокупности весь комплекс отложений в инт. 90–175 м несомненно относится к единому седиментационному циклу, что дает основание для причисления верхней RN-зоны к батскому ярусу. Заметим, что в опорной скв. 204, пройденной в соседнем районе, указанный интервал переменной полярности занимает сходное стратиграфическое положение и охарактеризован богатым комплексом батских фораминифер.

Отсутствие зоны переменной полярности в батских разрезах Западной Европы заслуживает специального обсуждения, поскольку затрагивает проблему возможной синхронности ярусных границ в провинциальных стратиграфических схемах. В данной статье этот вопрос опущен вполне осознанно.

### Петромагнитная характеристика разреза

Юрская и нижнемеловая толщи отмечены значительной вариабельностью скалярных магнитных характеристик и их закономерным распределением по стратиграфическому разрезу.

В разрезе выделяются два петромагнитных комплекса (ПК1 и ПК2), отражающих крупные этапы осадконакопления (см. рис. 2). Верхний слабомагнитный комплекс ПК1 охватывает значительный временной интервал от келловея до готерива включительно. Его подошва четко обозначена в разрезе резким спадом магнитности на глубине 102 м, на уровне эрозионной границы бата и келловея.

Нижний бат-байосский комплекс ПК2 характеризуется повышенными значениями и значительной дисперсией всех скалярных магнитных характеристик.

Основные петромагнитные комплексы обнаруживают значительные отличия по совокупности численных магнитных характеристик. В их границах намечаются более тонкие дифференциации, которые иногда проявлены селективно, лишь в части параметров. По ним возможно, видимо, выделение подчиненных петромагнитных субкомплексов.

В границах ПК1 намечается два субкомплекса, эквивалентных юрской и меловой частям разреза. В келловее и верхней юре модальные значения  $Jn$  и  $k$  варьируют в пределах 0,07–0,12 нТл и  $5-8 \cdot 10^{-5}$  ед. СИ, в готериве они возрастают до 0,1–0,2 нТл и  $11-15 \cdot 10^{-5}$  ед. СИ соответственно. Граница субкомплексов отчетливо маркирована в разрезе резким положительным (иногда расщепленным) пиком всех магнитных характеристик

Петромагнитные субкомплексы дифференцированы по вариациям  $dk$ , имеющим явную геохимическую подоплеку. По данному параметру намечается двучленное строение верхнего готерива.

В отложениях волжского яруса документируется два всплеска в распределении величин  $dk$ , верхний магнитный пик соответствует в целом зонам *V. virgatus* + *V. gerassimovi*, а нижний – *D. pandery* + *I. pseudoscythica*.

Самостоятельными пиками  $dk$  отмечены отложения кимериджа и келловея. Показательно, что все без исключения биостратиграфические границы маркируются в петромагнитной колонке отчетливыми спадами величин  $dk$ .

ПК2. В его пределах по вариациям  $Jn$  и  $k$  по вариациям  $Jn$  и  $k$  отчетливо документируются три субкомплекса, которые приблизительно соответствуют интервалам, установленным по палеомагнитной

зональности. На общем фоне повышенной магнитностью выделяется средний субкомплекс, где  $Jn_{mod} = 6 - 35$  нТл при  $k_{mod} = 25 - 60 \cdot 10^{-5}$  ед. СИ.

Подобная взаимосвязь, обусловленная изменениями геохимической среды при смене седиментационных обстановок, может рассматриваться как свидетельство событийной природы региональных биостратиграфических границ.

Повышенная магнитность в сочетании со ложной дифференциацией петромагнитного разреза является отличительной особенностью батских отложений Заволжья. Она регистрировалась в различных пунктах Волгоградского, Саратовского и Самарского Заволжья и на Правобережье в Пензенском районе. Латеральная устойчивость этого комплекса послужила основанием для его выделения в разряд реперных сильномагнитных горизонтов, который трассируется в Поволжье на сотни километров. Его формирование связано, видимо, с денудацией железистых кварцитов и девонских вулканитов Воронежского массива. Не исключен частичный привнос магнитного материала красноцветной перми из восточных источников сноса (Молостовский, 2000; Гришанов и др., 2003).

### Геохимические и каротажные характеристики разреза

Особенности распределения концентраций микроэлементов по стратиграфическому разрезу представлены на рис. 2.

По характеру распределения микроэлементов в сводной колонке выделяются готеривский, волжский, кимеридж-келловейский и бат-байосский интервалы шкалы. Показательно также явное совпадение основных магнитных и геохимических границ на уровне петромагнитных комплексов и субкомплексов. Наиболее тонкие корреляции намечаются между распределениями суммарных концентраций микроэлементов и параметром  $dk$ , ввиду их парагенетической связи с палеогеохимическими обстановками седиментогенеза. Основные биостратиграфические границы находят свое отражение на петромагнитных и геохимических кривых и отчетливо фиксируются и на кривых стандартного каротажа.

Графики стандартного каротажа в целом вполне корреспондируют с графиками распределения концентраций микроэлементов и численных магнитных характеристик пород. Наиболее четко на кривых КС, ПС и ГК обозначены границы бат-келловея и волжского яруса с готеривом. Очевидно, хотя и менее выразительно, трехчленное подразделение бат-байосской толщи, выделение келловей-кимериджского и волжского интервалов шкалы.

Совпадение петрофизических, геохимических границ с биостратиграфическими является прямым показателем их событийной природы. Все границы ярусов и зон в разрезе скважины 120 имеют фациально-геохимическую подоплеку и указывают на зависимость выявленных здесь палеонтологических последовательностей от смены седиментационных обстановок.

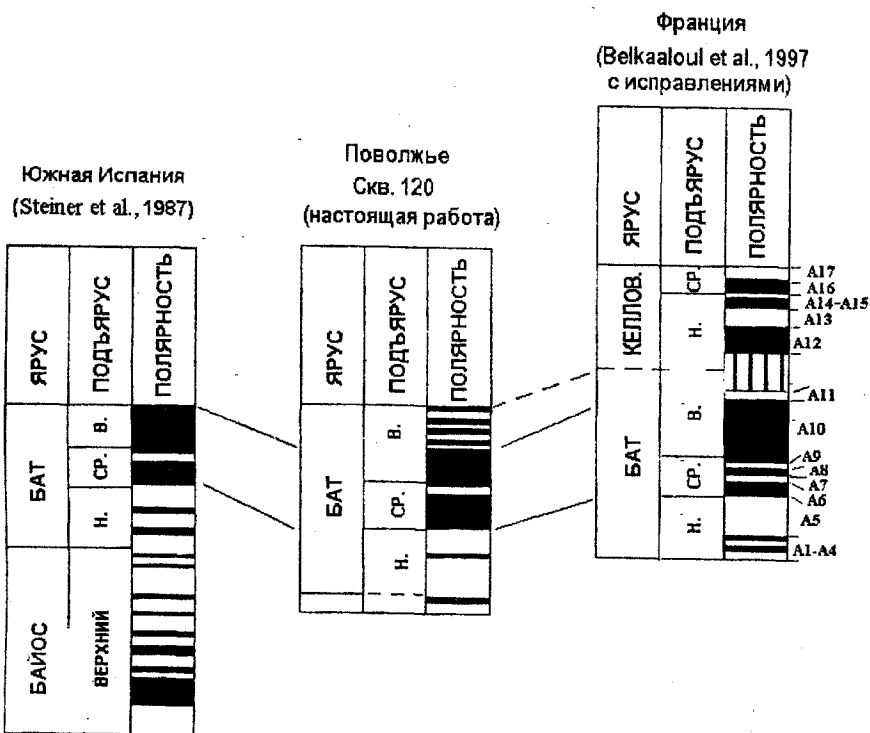


Рис. 4. Схема сопоставления палеомагнитных разрезов байос-батских отложений Западной Европы и Поволжья

## ВЫВОДЫ

Комплексная обработка опорной скважины позволила провести сравнительный анализ стратиграфических возможностей каждого из методов и разработать системный подход к их использованию на основе хронологической взаимозаменяемости признаков (Мейец 1980).

По совокупности петромагнитных, каротажных и геохимических характеристик намечено несколько реперных уровней, пригодных для региональных и местных корреляций.

Из палеомагнитных показателей, которые могут иметь прикладное стратиграфическое значение, целесообразно отметить:

— возможность двучленного подразделения верхнего горизонта Поволжья на основе магнитной зональности;

— перспективу трехчленного подразделения батских отложений по палеомагнитным данным и их корреляция с опорными разрезами Западной Европы. Для Поволжья, где бат-байосская толща крайне бедна ископаемыми, эта перспектива имеет первостепенное значение.

Есть основание полагать, что комплексный подход к изучению опорных разрезов вполне оправдал себя в методическом отношении и может быть рекомендован к использованию при геологическом картировании масштаба 1: 200000.

Работа выполнена при финансовой поддержке программы «Университеты России», проект 09.01.030 и РФФИ (Гранты № 00-05-64738, 01-05-64642).

### *Библиографический список*

- Буров Б. В., Ясонов П. Г. Введение в дифференциальный термомагнитный анализ горных пород. Казань, 1979. 160 с.

Вишневская В. С., Барабошкин Е. Ю. Новые данные по биостратиграфии лектостратотипа волжского яруса у д. Городище (Среднее Поволжье). Стратиграфия, геология-ческая корреляция. М., 2001. Т. 9, № 5. С. 77–86.

Гужиков А. Ю. Новые данные о петромагнетизме нижнемеловых отложений Поволжья. Палеомагнетизм и магнетизм горных пород: Тез. докл. Борок, 24–29 сент. 2000 г. М., 2000. С. 28–30.

Гужиков А. Ю., Барабошкин Е. Ю., Бирбина А. В., Ямпольская О. Б. Магнитостратиграфическая схема нижнего мела Среднего Поволжья. Первое Всерос. совещание. Меловая система России: Проблемы стратиграфии и палеогеографии Москва, 4–6 февр. 2002 г.: Тез. докл. М., 2002. С. 33–35.

Гришанов А. Н., Молостовский Э. А., Хабарова Т. Н. и др. Новые данные по стратиграфии и палеогеографии среднеюрско-нижнемеловых отложений Пензенского Муромского прогиба по результатам палеонтологических, петро- и палеомагнитных исследований // Недра Поволжья и Прикаспия. 2003. Вып. 33. С. 8–16.

Каждан А. Б., Гуськов О. И. Математические методы в геологии. М., 1990.

Мейен С. В. Введение в теорию стратиграфии. М., 1989. 216 с.

Молостовский Э. А. Скалярные магнитные характеристики горных пород как показатели условий седиментации // Использование магнетизма горных пород при геологической съемке. Л., 1986. С. 150–160.

Молостовский Э. А., Храмов А. Н. Магнитостратиграфия и ее значение в геологии. Саратов, 1997. 180 с.

Молостовский Э. А. Петромагнитная модель осадочного чехла Русской плиты и сопредельных территорий // Палеомагнетизм и магнетизм горных пород: теория, практика, эксперимент. М., 2000. С. 46, 47.

Палеомагнитология. Л., 1982. 312 с.

Стратиграфический кодекс. СПб., 1992. 120 с.

Стратиграфия СССР. Меловая система (Полутом I). М., 1986. 340 с.

Харленд У. Б., Кокс А. В., Лиевеллин П. Г. и др. Шкала геологического времени. М., 1985. 139 с.

*Belkaaloul K.N., Aissaoui D.M., Rebelle M. et al.* Resolving sedimentological uncertainties using magnetostratigraphic correlation: an example from the Middle Jurassic of Burgundy, France // Journal of Sedimentary Research. 1997. Vol. 67, № 4. P. 676–685.

*Steiner M. B., Ogg J. G., Sandoval I.* Jurassic magnetostratigraphy, Bathonian – Bajcian of Carcabuci, Sierra Harana and Campillo de Arenas (Subbetic Cordillera, Southern Spain) // Earth Planet. Sci. Lett. 1987. V. 82. P. 357–372.

## РАДИОЛЯРИИ ВЕРХНЕГО АЛЬБА РУССКОЙ ПЛАТФОРМЫ

\*В. С. Вишневская, \*\*Л. И. Казинцова, \*\*\*Л. Ф. Копаевич

\*Институт литосферы окраинных и внутренних морей РАН, Россия, 199026, Москва  
Старомонетный пер., 22, E-mail: valentina@ilron.ru

\*\*Всероссийский геологический институт, Россия, 199106, Санкт-Петербург  
Средний пр., 74

\*\*\* Московский государственный университет, 119899 Россия, Москва  
Воробьевы горы, геологический ф-т. E-mail: naidin@geol.msu.ru

Долгое время радиолярии позднего альба Русской платформы были известны только в одном районе – Владимирская обл., центральная часть, скв. 148 (с. Федоровское), скв. 150 (с. Чурилово), скв. 198 (с. Борисово) (Алиев, Смирнова, 1969). В ассоциации из 10 видов 8 описаны. Позднее радиолярии альба были обнаружены в глинах парамоновской свиты Подмосковья (Алексеев и др., 1996), а также в Московской обл. (скв. 9 у д. Ворохобино, скв. 105 близ с. Иворово, скв. 107 у с. Белянчино, скв. 195 у с. Турабьево), Брянской обл. (скв. 216) и у пос. Ковылкино в Республике Мордовия. Комплекс назван с *Porodiscus kavilkinensis* – *Crolanium cuneatum*. По составу он более разнообразен и насчитывает 30 видов (Вишневская, Казинцова, 1990; Казинцова, 2002; Казинцова, Олферьев, 1997).

В настоящее время территория распространения радиолярий позднего альба Русской платформы значительно расширилась за счет установления многочисленных новых местонахождений: Владимирская обл. (обнаружено 7 у села Андреевское); Ярославская обл. (скв. 102 у д. Чернево); Пензенская обл. (скв. 5, 7, 10 у окрестности г. Пенза); Ульяновская обл. (окраина г. Ульяновск и скв. 3) и Республика Мордовия (скв. 24 южное окончание с. Атяшево, скв. 43 у с. Атемар, скв. 44 в 3 км южнее с. Козловка и обнаружено 10 в 10 км южнее г. Инсар, обнаружено 13 у с. Клиновка, обнаружено 14 у с. Телешовка, обнаружено 34 – с. Красный Шадым), обнаружено 42 у с. Атемар, обн. 49 у с. Луховка), Саратовская область (скв. 200, пробуренная ФГУП «Саратовская ГГЭ» в Дальнем Саратовском Заволжье, близ с. Липовский Озинского района).

Всего в позднеальбских ассоциациях Русской платформы обнаружено более 100 видов, из них 68 принадлежат спумелляриям и относятся к 32 родам, а 45 – насселяриям, принадлежащие к 23 родам.

### Московская область

В Московской области (разрез Спас-Каменка) в парамоновских глинах, наряду с радиоляриями (табл. 1), были установлены два вида планктонных фораминифер: *Hedbergella infrasantonica* (Glaessner), *H. delrioensis* (Carsey), имеющие распространение поздний альб – ранний сеноман (Алексеев и др., 1996). Последний вид фораминифер также был установлен в разрезе скв. 58 (Парамонова) и скв. 9 (Ворохобино), скв. 105 (Иворово), скв. 107 (Белянчино), скв. 195 (Турабьево) (Казинцова, Олферьев, 1997; Олферьев, 1986). Радиоляриевые ассоциации Московской синеклизы детально охарактеризованы в отечественной (Казинцова, Олферьев, 1997) и зарубежной литературе (Vishnevskaya, De Wever, 1998).

Таблица 1

### Распространение видов радиолярий позднего альба на территории Русской платформы

Виды радиолярий	Московская, Владимирская, Ярославская обл.	Пензенская, Ульяновская, Саратовская обл.	Мордовия
1	2	3	4
<i>Spu mellaria:</i>			
<i>Cenosphaera adornata</i> Al.	+		+
<i>C. orginala</i> Al.	+		
<i>Conosphaera haackeli</i> Al.	+		+
<i>Acaeniotyle diaphorogona</i> For.			+
<i>Ac. Umbilicata</i> (Rust)			+
<i>Praeconocaryomma lipmanae</i> Pess.			+
<i>Pr. prisca</i> Pess.			+
<i>Cromyodruppa concentrica</i> Lipm.	+		+
<i>Archaeospongoprunum klingi</i> Pess.			+
<i>Ar. carriere nsis</i> Pess.			+
<i>Ar. cortinaensis</i> Pess.			+
<i>Ar. praelongum</i> Pess.			+
<i>Ar. renaensis</i> Pess.			+
<i>Staurocyclia martini</i> Rust			+
<i>Porodiscus kavilkinensis</i> Al.	+	+	+
<i>P. inflatus</i> Smirnova et Al.	+	+	+
<i>P. ex gr. Vulgaris</i> Lipm.			+
<i>Tripodictya aff. triacuminata</i> Lipm.			+
<i>Stylocidictya placentalis</i> Lipm.			+
<i>Godia coronata</i> (Tumanda)		+	
<i>Rhopalastrum ? clavatum</i> Squin.			+
<i>Histiastrum latum</i> Lipm.	+		+